

在 Feshbach-Kerman-Koonin 多步理论中 P 及 Q 空间的跃迁*

苏宗涤^{1;1)} 阿不都许库尔¹ 李保现¹ 曹天光¹ 王书暖¹ 刘建峰²
黄忠甫³ 朱耀银⁴ 李支文⁴ 张本爱⁵

1 (中国原子能科学研究院 北京 102413)

2 (郑州大学物理系 郑州 450004)

3 (广西大学物理系 南宁 530004)

4 (吉林大学物理系 长春 130023)

5 (北京应用物理与计算数学研究所 北京 100088)

摘要 存在直接作用时, 在哈密顿量中将包括非对角元, 并导致 Feshbach, Kerman 和 Koonin 预平衡反应多步复合理论中 P 和 Q 空间的耦合, 得到了理论上更严格的 Feshbach, Kerman 和 Koonin 预平衡反应多步复合理论与复合核反应 Hauser-Feshbach 理论的统一表示, 也改进了与实验结果的符合。

关键词 预平衡反应 多步复合理论 P 和 Q 空间的跃迁

1 引言

在文献[1]中推广了 Feshbach, Kerman 和 Koonin 预平衡反应多步复合 (FKK-MS) 理论^[2], 并进一步改进门态强度函数和平衡态 r 空间的发射宽度, 得到了 MSC 和复合核 (CN) Hauser-Feshbach (HF) 理论的统一公式, 与传统的核反应理论能自治、一致地给出各种反应截面。但是原始的 MSC 理论忽略了存在直接作用时哈密顿量中的非对角部分。这一近似使 P 链及 Q 链空间之间除 $P_0 \rightarrow Q_1$ 的跃迁外, 不再有 P 链到 Q 链的跃迁。而在应用 FKK-MS 分析实验时, 计算能谱的中段又总比实验结果偏高, 低能部分偏低。为进一步完善理论和改进与实验的符合, 本工作考虑了在哈密顿量中包括非对角元, 得到了含 P 与 Q 空间跃迁的统一公式。用于分析实验, 与实验结果的符合有一定的及合理的改进。

2 FKK-MS 理论及与 HF 理论的统一公式

由始道 i 到末道 f 的 2 体核反应平均截面可以用跃迁矩阵元 T_{if} 表示。它可分成描述随能量缓变的直接过程部分 $T_{if}^{(dir)}$, 和随能量变化很快而平均为零的涨落部分 $T_{if}^{(fl)}$ 。引入投影算符 \hat{P} 和 \hat{Q} 将反应空间分为 P (至少有一个粒子处于连续态) 及 Q (所有粒子都处于束缚态) 两个互补的空间, 并按照由简单到复杂划分为: $P_\nu (\nu = 1, 2, \dots)$ 和 $Q_n (n = 1, 2, \dots)$ 子空间。预平衡发射可直接来自 P 链的每一步, 称为多步直接 (MSD) 过程。也可以发生在 Q 链并通过与 P 链耦合的 MSC 过程的发射。这里仅研究 MSC 过程, 并讨论 $T_{if}^{(fl)}$ 的解。 $T_{if}^{(fl)}$ 可用 Q_n 子空间的 $T_{if}^{(n)}$ 贡献之和表示。应用由投影算符得出的耦合 Schrödinger 方程和链式假定, 可以得到^[2]

$$T_{if}^{(n)} = \langle \psi_i^{(-)} | V_{P_f Q_n} G_n V_{n, n-1} G_{n-1} \cdots G_k V_{k, k-1} G_{k-1} \cdots G_2 V_{2, 1} G_1 V_{Q_1 P_i} | \psi_i^{(+)} \rangle, \quad (1)$$

2004 - 08 - 17 收稿, 2005 - 01 - 10 收修改稿

* 国家自然科学基金(19975072)和中国工程物理研究院基金(97021)资助

1) E-mail: zdsu@iris.ciae.ac.cn

式中 $\psi_i^{(+)}$ 和 $\psi_i^{(-)}$ 分别为始态和末态波函数, $V_{Q_1 P_i}$, $V_{P_f Q_n}$ 和 $V_{k, k-1}$ 分别是 P 与 Q 空间和 Q 空间相邻子空间的相互作用, G_k 为 Q_k 子空间的传播子. 如图 1(a) 所示, 式(1)表示反应系统由相互作用 $V_{Q_1 P_i}$ 从始态 P_i (即 P_0) 子空间跃迁到 Q_1 子空间, 并通过 G_1 在 Q_1 传播, 再由相互作用 $V_{2,1}$ 跃迁到 Q_2 , 依此类推逐步跃迁到 Q_n , 并通过 G_n 传播, 最后由相互作用 $V_{P_f Q_n}$ 从 Q_n 跃迁到末态 P_f 子空间发射. 文献[2]在核子及靶核自旋都为零的假定下得到了 A(a, b)B 反应 MSC 过程的双微分截面公式.

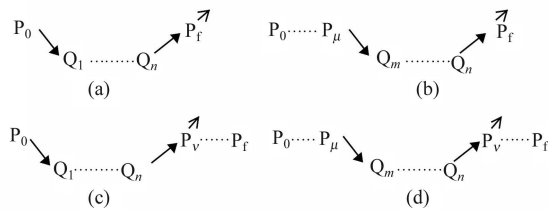


图 1 P 和 Q 空间的耦合

文献[1]首先将原 MSC 公式推广至核子自旋为 1/2, 靶核自旋 I 任意, 在 $j-j$ 表象导出 MSC 双微分截面公式. 其次, 与 CN 反应 HF 理论一样, 门态强度函数(即复合系统的形成几率)用入射道 α 的光学模型 $T_{\alpha l j}^{J\pi}$ 因子给出, 而平衡态 r 空间的发射用 CN 衰变 T 因子(即出射道 β 的光学模型 $T_{\beta l' j'}^{J\pi}$ 因子和剩余核 B 的末态能级密度 $\rho_B^{I'\pi'}(U_B)$ 的积)表示, 得到了与光学模型(OM)一致的, 统一描写 MSC 过程和 CN 过程发射的双微分截面公式:

$$\frac{d^2 \sigma_{a,b}^{MSC}}{dU_B d\Omega} = \pi \Delta_\alpha^2 \sum_{LJ\pi l} \sum_{l'j'\pi'} B_{l'j'l}^{JL} P_L(\cos\theta) T_{\alpha l j}^{J\pi} \times \left\{ \sum_{n=1}^{r-1} \left(\prod_{k=1}^{n-1} \frac{\langle \Gamma_k^{Jl}(E) \rangle}{\langle \Gamma_k^J(E) \rangle} \right) \sum_{\nu=n-1}^{n+1} \frac{\langle \Gamma_{nl'j'}^{Jl' \pi'}(E) \rangle \rho_B^{I'\pi'}(U_B)}{\langle \Gamma_n^J(E) \rangle} + \left(\prod_{k=1}^{r-1} \frac{\langle \Gamma_k^{Jl}(E) \rangle}{\langle \Gamma_k^J(E) \rangle} \right) \frac{T_{\beta l' j'}^{J\pi} \rho_B^{I'\pi'}(U_B)}{T^{J\pi}} \right\}, \quad (2)$$

式中 $B_{l'j'l}^{JL}$ 为与 HF 理论相同的几何因子, $\langle \Gamma_k^{Jl}(E) \rangle$, $\langle \Gamma_{nl'j'}^{Jl' \pi'}(E) \rangle \rho_B^{I'\pi'}(U_B)$ 及 $\langle \Gamma_n^J(E) \rangle$ 分别是 Q_n 子空间具有角动量 J 的平均衰减宽度, 逃逸宽度和总宽度, $\rho_B^{I'\pi'}(U_B)$ 为 P_ν 空间激发能为 U_B , 末态自旋和宇称为 I' , π' 的态密度. 上式右端第 1 项描写 $Q_n (n = 1, \dots, r-1)$ 子空间预平衡 MSC 过程的发射, 给出能谱的硬尾部分. 第 2 项为平衡态 r 空间 CN 的发射, 为典型的蒸发谱. 应用该式及 OM 能对各种反应截面作自洽和一致的计算和分析.

3 P 及 Q 空间的跃迁

应指出, (1)式中始末态波函数 $\psi^{(\pm)}$ 是引入的哈密顿量 H_{opt} 的解, 即

$$(E - H_{opt})\psi^{(\pm)} = 0, \quad (3)$$

但真正求解方程(3)是困难的, 因此在实际应用中近似地取为光学模型散射波函数 $\varphi^{(\pm)}$, 即

$$\psi^{(\pm)} = \varphi^{(\pm)}, \quad (4)$$

$$\text{且 } (E - H_{opt}^{(d)})\varphi^{(\pm)} = 0, \quad (5)$$

这里 $\varphi^{(\pm)}$ 是 H_{opt} 的对角元 $H_{opt}^{(d)}$ 的本征函数. 式(4)的应用意味着采用了 $H_{opt} = H_{opt}^{(d)}$ 的近似. 众所周知, 如果反应中有直接作用时, 哈密顿量 H_{opt} 中除对角矩阵元 $H_{opt}^{(d)}$ 外, 还应包含非对角部分 v . 因此

$$H_{opt} = H_{opt}^{(d)} + v, \quad (6)$$

此时 H_{opt} 的解 $\psi^{(\pm)}$ 可利用 Lippman-Schwinger 方程的解给出:

$$\psi^{(\pm)} = \varphi^{(\pm)} + \frac{1}{E^{(\pm)} - H_{opt}} v \varphi^{(\pm)}, \quad (7)$$

式中 $\varphi^{(\pm)}$ 是齐次方程式(5)的解. 将式(7)所示的解 $\psi^{(\pm)}$ 代入式(1), 则得到的跃迁矩阵元 $T_{if}^{(n)}$ 为

$$T_{if}^{(n)} = \langle \varphi_f^{(-)} | V_{P_f Q_n} G_n V_{n, n-1} G_{n-1} V_{n-1, n-2} \cdots G_2 V_{2,1} G_1 V_{Q_1 P_i} | \varphi_i^{(+)} \rangle + \langle \varphi_f^{(-)} | V_{P_f Q_n} G_n V_{n, n-1} G_{n-1} \cdots V_{m+1, m} G_m V_{m\mu} G_\mu \cdots v_{21} G_1 v_{P_1 P_i} | \varphi_i^{(+)} \rangle + \langle \varphi_f^{(-)} | v_{P_f P_\lambda} G_\lambda v_{\lambda, \lambda-1} \cdots V_{v, n} G_n V_{n, n-1} G_{n-1} V_{n-1, n-2} \cdots G_2 V_{2,1} G_1 V_{Q_1 P_i} | \varphi_i^{(+)} \rangle + \langle \varphi_f^{(-)} | v_{P_f P_\lambda} G_\lambda v_{\lambda, \lambda-1} \cdots V_{v, n} G_n V_{n, n-1} G_{n-1} \cdots V_{m+1, m} G_m V_{m\mu} G_\mu \cdots v_{21} G_1 v_{P_1 P_i} | \varphi_i^{(+)} \rangle, \quad (8)$$

上式右边第 1 项与式(1)相同. 第 2 项包括了由 v 引起在 P 链的传播, 传播途中的每一步 $\mu = 1, 2, \dots$ 都有可能跃迁至 Q 链, 在 Q 链传播后, 又跃迁回 P 链发射. 后两项与之比较, 只是多了返回 P 链, 并在 P 链传播后发

射. 若假定跃迁返回 P 链, 即为发射. 那么第 1 与第 3 项, 第 2 与第 4 项是相同的. 4 项的物理过程分别如图 1(a)–(d) 所示. 在哈密顿量中考虑了非对角元, 并导致 P 和 Q 空间的耦合引入到统一公式(2)中, 则

$$\frac{d^2\sigma_{a,b}^{\text{MSC}}}{dU_B d\Omega} = \pi\Delta_\alpha^2 \sum_{LJ\pi l j' l'} B_{ijI, l' j' l'}^{JL} P_L(\cos\theta) T_{\alpha l j}^{J\pi} \sum_{m=1}^r R_m \times \left\{ \sum_{n=m}^{r-1} \left(\prod_{k=1}^{n-1} \frac{\langle \Gamma_k^{J_1}(E) \rangle}{\langle \Gamma_k^J(E) \rangle} \right) \sum_{v=n-1}^{n+1} \frac{\langle \Gamma_{nl'j'}^{vJ_1}(E) \rho_{v'}^{l'\pi'}(U_B) \rangle}{\langle \Gamma_n^J(E) \rangle} + \left(\prod_{k=1}^{r-1} \frac{\langle \Gamma_k^{J_1}(E) \rangle}{\langle \Gamma_k^J(E) \rangle} \right) \frac{T_{\beta l' j' l'}^{J\pi} \rho_{\beta}^{l'\pi'}(U_B)}{T^{J\pi}} \right\}, \quad (9)$$

与式(2)比较, 多了对 $m(m=1, 2, \dots, r)$ 的求和及 R_m 因子. 对 m 的求和表示由 v 导致了 $P_\mu \rightarrow Q_m(m=1, 2, \dots, r)$ 的跃迁(不仅仅是 $P_0 \rightarrow Q_1$ 的跃迁). 设 $R(\leq 1)$ 为整个反应中通过 MSC 和 CN 过程的反应几率, 则

$$R_m = (R - R_1 - R_2 - \dots - R_{m-1}) \rho_{(m+1)p, mh}^B / \rho_{(m+1)p, mh}, \quad (10)$$

这里 $\rho_{(m+1)p, mh}^B$ 和 $\rho_{(m+1)p, mh}$ 分别是受限制的和总的 $m+1$ 个粒子和 m 个空穴态的态密度. 受限制的态密度指 Q_m 空间(即所有 $m+1$ 粒子均为束缚态)的态密度. 它们分别可用 Oblozinsky^[3] 公式和 Williams^[4] 公式计算. 由此可见, R_m 给出了进入 Q_m 参与 MSC 和 CN 反应的几率, 由 Q_m 的相空间与总的相空间大小的比值决定.

利用(9)式对入射能量为十几 MeV 的典型核反应进行了分析, 图2为 14MeV 的 $^{93}\text{Nb}(n, n')$ 反应能谱的分析结果. 计算中选用与文献[1]相同的普适光学模型参数和通用的能级密度(含态密度)参数, 而未作任何调整. 由于本工作仅分析较低能量的核反应, 直接反应(DR)和 MSD 过程在反应中不重要, 近似地取 $R=1$. 图上分别示出预平衡反应 MSC 过程前3步, 总的 MSC, r 子空间(即 CN 过程)以及总能谱的计算值. 尚需指出, 这里有关“步”的划分与通常的 MSC 理论相同, 即用入射粒子和靶核子相互作用的不同激发的粒子-空穴对表示. 如(9)式所示, 第 n 步发射依赖于进入 Q_n 的“流”, 而原 MSC 理论仅有 $Q_{n-1} \rightarrow Q_n$ 的跃迁. 与原 MSC 理论不同, 目前的改进不仅包括来自 Q 链前一步的跃迁, 还增加了 $P_\mu \rightarrow Q_n$ 的跃迁. 至于 Q_n 通过与 P 的耦合发射, 与通常的 MSC 理论相同, 包括了与所有允许的 $P_\nu(\nu=n, n\pm 1)$ 子空间的耦合发射. 图2的结果显示, MSC 部分(特别是头2步)能再现预平衡发射能谱的基本特点, 给出能谱的硬尾部分. 和文献[1]的结果(见文献[1]图2)比较, 由于两者输入相同的参数, 因此计算的复合系统形成截面也相同. 文献[1]计算能谱的中段比实验结果偏高, 低能部分偏低的问题, 本工作有了一定的改进. 再仔细比较 MSC 和 CN 的发射, 以及 MSC 各步(特别是第一步)的发射, 有了明显变化. 这种变化是有益于改进和实验的符合,

而且和本工作增加 $P_\mu \rightarrow Q_m(m=2, 3, \dots, r)$ 的跃迁有关, 或者说这些改进和变化可以从 P 和 Q 空间的耦合给予合理的理解.

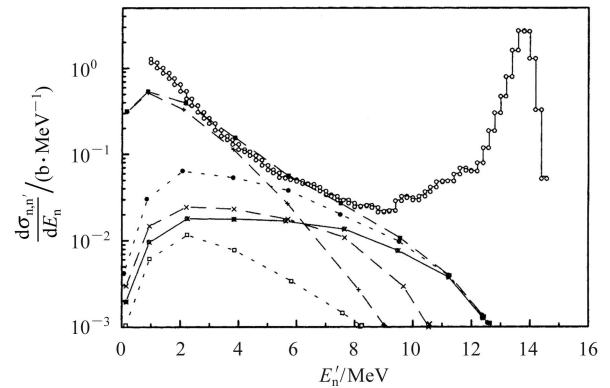


图2 14MeV $^{93}\text{Nb}(n, n')$ 反应能谱

○实验值, —●—计算总能谱, ---○--- CN 谱, ---●--- MSC 谱, —■— MSC 第1步发射, —×— MSC 第2步发射, ---○--- MSC 第3步发射.

原 MSC 理论中只有 $P_0 \rightarrow Q_1$ 的跃迁, 因此 Q_1 与 P 链耦合(即第1步)的 MSC 发射是最主要的(其截面约比第2步大1个数量级), 而第1步发射能量较高粒子的几率最大, 对计算能谱的中段的影响也最大. 本工作包括了 $P_\mu \rightarrow Q_m(m=1, 2, \dots, r)$ 的跃迁, 因此只有一部分(由 R_1 决定)发生 $P_0 \rightarrow Q_1$ 的跃迁, 从而减少第1步发射的几率. 图2的结果显示: 此时第1步发射的能谱已大大减小, 和第2步相当, 而第2步 (Q_2) 和第3步 (Q_3) 的发射与文献[1]相近. 由于第1步 MSC 发射变小, 使得总的 MSC 发射也减少, 计算能谱的中段得到明显的改进. MSC 发射的减少, 必然会增加 CN 的发射. 这是由于原 MSC 理论只有通过 $P_0 \rightarrow Q_1 \rightarrow Q_2 \dots Q_{r-1}$ 的系列跃迁而没有发生 MSC 发射的部分, 才能进入平衡态子空间 Q_r , 形成 CN 和发生 CN 发射. 除此之外, 目前的改进还包括了由 P 链直接跃迁至 Q_r 形成 CN 的过程. 这将增大 CN 的形成和发射的几率. 所以说本工作能合理地改进与实验的符合.

4 结论

原 MSC 理论计算跃迁矩阵元 $T_{if}^{(ftu)}$ 时, 使用的是

光学模型散射波函数, 即哈密顿量对角元 $H_{\text{opt}}^{(d)}$ 的本征解 $\varphi^{(\pm)}$, 这样在理论上有一定的局限性. 因为应用 MSC 理论描述时还包括直接作用的核反应问题时, 哈密顿量 H_{opt} 中除 $H_{\text{opt}}^{(d)}$ 外, 还包括非对角部分 v . 本工作考虑到哈密顿量中有 v , 在计算 $T_{\text{if}}^{(\text{fu})}$ 时采用 H_{opt} 的解 $\psi^{(\pm)}$, 而 $\psi^{(\pm)}$ 可以由式(7)所示的 Lippman-Schwinger 方程给出. 由此得到的 $T_{\text{if}}^{(\text{fu})}$ 除包括 $P_0 \rightarrow Q_1$ 的跃迁外, 还增加了 $P_\mu \rightarrow Q_m (m = 2, 3, \dots, r)$ 的跃迁. 在文献[1]工作的基础上, 将 P 和 Q 空间的耦合考虑进来, 得到了理论上更严格, 又能统一描写 MSC 过程和 CN 过程发射的双微分截面公式. v 在 MSC 理论中导致了在 P 链空间的传播, 而传播途中由于 P 与 Q 空间的相互作用 $V_{m\mu}$, 会发生 $P_\mu \rightarrow Q_m$ 空间的跃迁, P

空间的“流”不只是流向 Q_1 子空间, 而是通过 P 和 Q 空间的跃迁也流入 Q_2, Q_3, \dots 等子空间, 所以可称为逐步吸收模型. 应用该模型分析实验结果, 计算能谱的中段比实验结果偏高, 低能部分偏低的问题有了一定的合理改进. 这是由于 $P_0 \rightarrow Q_1$ 子空间的“流”被分到其他子空间, 因而减小 Q_1 子空间的 MSC 发射, 从而改进计算能谱的中段和实验的符合, 同时也会增大 CN 的发射. 此外, 关于参数 R 的引入是为了将 CN+MSC 和 DR+MSD 两类反应过程的贡献区别开来分别处理. 它很强烈地依赖于靶核及入射能量. 目前还只有通过符合能谱和角分布的实验数据确定. 我们以后将对反应中同时存在 DR, MSD, MSC 和 CN 反应过程作进一步的讨论, 给出一种可行的计算 R 的方法.

参考文献(References)

- 1 SU Zong-Di, LI Bao-Xian et al. HEP & NP, 2003, **27**(6): 498—502 (in Chinese)
(苏宗涤, 李保现等. 高能物理与核物理, 2003, **27**(6): 498—502)
- 2 Feshbach H, Kerman A, Koonin S. Ann. Phys., 1980, **125**: 429—476
- 3 Oblozinsky P. Nucl. Phys., 1986, **A453**: 127
- 4 Williams F C. Nucl. Phys., 1971, **A166**: 231

Transition between P and Q Spaces in Feshbach-Kerman-Koonin Theory*

SU Zong-Di^{1,1)} Abdurixit¹ LI Bao-Xian¹ CAO Tian-Guang¹ WANG Shu-Nuan¹ LIU Jian-Feng²
HUANG Zhong-Fu³ ZHU Yao-Yin⁴ LI Zhi-Wen⁴ ZHANG Ben-Ai⁵

1 (China Institute of Atomic Energy, Beijing 102413, China)

2 (Department of Physics, Zhengzhou University, Zhengzhou 450004, China)

3 (Department of Physics, Guangxi University, Nanning 530004, China)

4 (Department of Physics, Jilin University, Changchun 130023, China)

5 (Institute of Applied Physics and Computational Mathematics, Beijing 100088, China)

Abstract The off-diagonal components of Hamiltonian was considered in the Feshbach-Kerman-Koonin multi-step compound theory (FKK-MSC) of the pre-equilibrium reaction to induce the coupling between P and Q spaces in addition to the direct and the multi-step direct reactions. The transition from P to Q chain was introduced in an improved FKK-MSC formula, which can give a unified expression for FKK-MSC theory of pre-equilibrium reaction and Hauser-Feshbach model of the compound nucleus reaction (CN). The FKK-MSC theory was further refined. The calculated results shows that after considered the transition from P to Q chain, the FKK-MSC cross sections become smaller and the CN cross sections become greater than former analyses and they give a good agreement with the experimental results.

Key words pre-equilibrium reaction, multi-step compound theory, transition between P and Q

Received 17 August 2004, Revised 10 January 2005

*Supported by National Natural Science Foundation of China (19975072) and Foundation of China Academy of Engineering Physics(97021)

1) E-mail: zdsu@iris.ciae.ac.cn